

Документ подписан простой электронной подписью

Информация о владельце:

ФИО: Емельянов Сергей Геннадьевич

Должность: ректор

Дата подписания: 25.09.2022 14:45:14

Уникальный программный ключ:

9ba7d3e34c012eba476ffd2d064cf2781053be730df2374d16f3c0ce536f0fc6

## МИНОБРНАУКИ РОССИИ

Федеральное государственное бюджетное  
образовательное учреждение высшего образования

«Юго-Западный государственный университет»  
(ЮЗГУ)

Кафедра промышленного и гражданского строительства



## МЕХАНИКА ГРУНТОВ

Методические указания по выполнению практических работ  
по дисциплине «Механика грунтов» для студентов направления  
подготовки 08.03.01

Курск 2017

УДК 624.012.4; 721.021:004; 624.011

Составители: К.О. Дмитриева, С.В. Дубраков

Рецензент

Кандидат технических наук, доцент С.Ю. Савин

Механика грунтов: методические указания по выполнению практических работ /Юго-Зап. гос. ун-т; К.О. Дмитриева, С. В. Дубраков. - Курск, 2017. - 43 с.: ил.41. - Библиогр.: 43 с.

Изложен материал к практическим занятиям по дисциплине «Механика грунтов» приведены задачи для самостоятельного решения.

Методические указания соответствуют требованиям программы, утвержденной учебно-методическим объединением по направлению подготовки 08.03.01 «Строительство».

Предназначены для студентов профиля ПГС.

Текст печатается в авторской редакции

Подписано в печать . Формат60x84 1/16.  
Усл. печ. л. 2,5. Уч.-изд.л. 2,3. Тираж 100 экз. Заказ. Бесплатно.  
Юго-Западный государственный университет.  
305040, г. Курск, ул. 50лет Октября, 94.

## Оглавление

|  |    |
|--|----|
| Введение.....  | 4  |
| ПРАКТИЧЕСКОЕ ЗАНЯТИЕ №1. ФИЗИЧЕСКИЕ СВОЙСТВА ГРУНТОВ.....                  | 5  |
| Задачи к практическому занятию №1. .....                                   | 10 |
| ПРАКТИЧЕСКОЕ ЗАНЯТИЕ №2. ДЕФОРМАЦИОННЫЕ ХАРАКТЕРИСТИКИ ГРУНТОВ .....       | 12 |
| Задачи к практическому занятию №2 .....                                    | 15 |
| ПРАКТИЧЕСКОЕ ЗАНЯТИЕ №3. РАСПРЕДЕЛЕНИЕ НАПРЯЖЕНИЙ В ОСНОВАНИИ .....        | 17 |
| Задачи к практическому занятию №3 .....                                    | 23 |
| ПРАКТИЧЕСКОЕ ЗАНЯТИЕ №4. ОПРЕДЕЛЕНИЕ РАСЧЕТНОГО СОПРОТИВЛЕНИЯ ГРУНТА ..... | 25 |
| ПРАКТИЧЕСКОЕ ЗАНЯТИЕ №5. РАСЧЕТ ОСНОВАНИЙ ПО НЕСУЩЕЙ СПОСОБНОСТИ .....     | 30 |
| Задачи к практическому занятию №5 .....                                    | 33 |
| ПРАКТИЧЕСКОЕ ЗАНЯТИЕ №6. ОПРЕДЕЛЕНИЕ ОСАДОК ОСНОВАНИЯ.....                 | 35 |
| Задачи к практическому занятию №6 .....                                    | 41 |
| Литература .....   | 42 |

## **Введение**

Дисциплина «Механика грунтов» является базовой дисциплиной по направлению 08.03.01 «Строительство» профилей подготовки «Промышленное и гражданское строительство», «Городское строительство и хозяйство», «Водоснабжение и водоотведение», «Теплогазоснабжение и вентиляция», «Экспертиза и управление недвижимости», «Автомобильные дороги и аэродромы».

Механика грунтов изучает проблемы напряженно-деформированного состояния, прочности, деформативности и устойчивости грунтовых массивов и определяет условия их использования в качестве оснований объектов строительства.

Следует иметь в виду, что проектирование и устройство оснований и фундаментов является сложной комплексной задачей, решение которой требует рассмотрения многих факторов – анализа исходных данных по надфундаментной конструкции, инженерно-геологических условий строительной площадки, физических и механических характеристик слоев грунта и т. д. На практических занятиях студент должен закрепить теоретический материал, полученный на лекциях; научиться самостоятельно работать со СНиП, СП, справочной литературой, учебниками, ГОСТами.

## **ПРАКТИЧЕСКОЕ ЗАНЯТИЕ №1. ФИЗИЧЕСКИЕ СВОЙСТВА ГРУНТОВ**

Влажность грунта - отношение массы воды в объеме грунта к массе этого грунта, высушенного до постоянной массы.

Гигроскопическая влажность - влажность грунта в воздушно-сухом состоянии, т.е. в состоянии равновесия с влажностью и температурой окружающего воздуха.

Влажность на границе текучести - влажность грунта, при которой грунт находится на границе между пластичным и текучим состояниями.

Влажность на границе раскатывания - влажность грунта, при которой грунт находится на границе между твердым и пластичным состояниями.

Плотность грунта - масса единицы объема грунта.

Плотность сухого грунта - отношение массы грунта, за вычетом массы воды и льда в его порах, к его первоначальному объему.

Плотность частиц грунта - масса единицы объема твердых (скелетных) частиц грунта.

Водонасыщенное состояние грунта - состояние грунта при практически полном заполнении пор грунта водой.

Гранулометрический (зерновой) состав грунта - количественное содержание в грунте твердых частиц того или иного размера.

Коэффициент фильтрации - скорость фильтрации воды в грунте при градиенте напора, равном единице.

Градиент напора - отношение разности гидростатических напоров воды (потери напора) к длине пути фильтрации.

Относительная вертикальная деформация образца грунта - отношение абсолютной вертикальной деформации к начальной высоте образца.

Стабилизация деформации - приращение деформации во времени, характеризующее практическое затухание деформации при определенной нагрузке.

Стабилизированное состояние грунта - состояние грунта, характеризуемое окончанием деформаций уплотнения под определенной нагрузкой и отсутствием избыточного давления в поровой жидкости.

Нестабилизированное состояние грунта - состояние грунта, характеризуемое незавершенностью деформаций уплотнения под определенной нагрузкой и наличием избыточного давления в поровой жидкости.

Сопротивление грунта срезу - характеристика прочности грунта, определяемая значением касательного напряжения, при котором происходит разрушение (срез).

Предел прочности на одноосное сжатие - отношение вертикальной нагрузки на образец грунта, при которой происходит его разрушение, к площади поперечного сечения образца.

Коэффициент сжимаемости - отношение относительной вертикальной деформации (изменения коэффициента пористости) к давлению, вызвавшему эту деформацию.

Модуль линейной деформации - показатель линейной деформируемости мерзлого грунта, отражающий отношение напряжений к вызванным относительным продольным деформациям.

Коэффициент поперечного расширения - показатель деформируемости, характеризующий отношение поперечных и продольных деформаций грунта.

Угол внутреннего трения - параметр прямой зависимости сопротивления грунта срезу от вертикального давления, определяемый как угол наклона этой прямой к оси абсцисс.

Удельное сцепление грунта - параметр прямой зависимости сопротивления грунта срезу от вертикального давления, определяемый как отрезок, отсекаемый этой прямой на оси ординат.

Модуль деформации - коэффициент пропорциональности линейной связи между приращениями давления на образец и его деформацией.

Модуль сдвига - характеристика деформируемости, определяемая отношением интенсивности касательных напряжений к интенсивности деформаций сдвига.

Плотность скелета грунта - плотность сухого грунта  $\rho_d$ ,  $\text{г}/\text{см}^3$ , определяемая по формуле:

$$\rho_d = \frac{\rho}{1+W}, \quad (1.1)$$

где  $\rho$  - плотность грунта,  $\text{г}/\text{см}^3$ ;

$W$  - влажность грунта, д. е.

Число пластичности  $I_p$  - разность влажностей, соответствующая двум состояниям грунта: на границе текучести  $W_L$  и на границе раскатывания  $W_p$ .

Показатель текучести  $I_L$  - отношение разности влажностей, соответствующих двум состояниям грунта: естественному  $W$  и на границе раскатывания  $W_p$ , к числу пластичности  $I_p$ .

Коэффициент водонасыщения  $S_r$ , д.е. - степень заполнения объема пор водой. Определяется по формуле (1.2).

$$S_r = \frac{W \rho_s}{e \rho_w}, \quad (1.2)$$

где  $W$  - природная влажность грунта, д.е.;

$e$  - коэффициент пористости;

$\rho_s$  - плотность частиц грунта, г/см<sup>3</sup>;

$\rho_w$  - плотность воды, принимаемая равной 1 г/см<sup>3</sup>.

Коэффициент пористости  $e$  определяется по формуле (1.3).

$$e = \frac{\rho_s - \rho_d}{\rho_d}, \quad (1.3)$$

где  $\rho_s$  - плотность частиц грунта, г/см<sup>3</sup>;

$\rho_d$  - плотность сухого грунта, г/см<sup>3</sup>.

Таблица 1.1 – Классификация крупнообломочных и песчаных грунтов по гранулометрическому составу

| Грунт  | Размер частиц, мм    | Масса частиц, % от массы воздушно-сухого грунта |
|--|----------------------|---|
| Крупнообломочный:<br>валунный (глыбовый)<br>галечниковый (щебенистый)<br>гравийный (древесный) | > 200<br>> 10<br>> 2 | > 50  |
| Песок:   |                      |   |
| гравелистый  | > 2                  | > 25  |
| крупный  | > 0,5                | > 50  |
| средней крупности  | > 0,25               | > 50  |
| мелкий   | > 0,1                | ≥ 75  |
| пылеватый  | > 0,1                | < 75  |

Число пластиичности грунта:

$$J_p = W_L - W_p, \quad (1.4)$$

где  $J_p$  - число пластиичности грунта,  $W_L$  и  $W_p$  - влажность грунта на границе текучести и на границе раскатывания, %.

Показатель текучести (консистенции):

$$J_L = \frac{W - W_p}{W_L - W_p}, \quad (1.5)$$

где  $J_L$  - показатель консистенции,  $W$  – природная влажность грунта, % ;  $W_L$  - влажность на границе текучести, %;  $W_p$  - влажность на границе раскатывания, %.

В соответствии с табл. Б.11 ГОСТ 25100-95 «Грунты. Классификация» по числу пластиичности грунты подразделяются (см. табл. 1.2).

Таблица 1.2 – Классификация грунтов в зависимости от значения показателя пластиичности

| Разновидность глинистых грунтов | Чисто пластиичности |
|---------------------------------|---------------------|
| Супесь                          | 1-7                 |
| Суглинок                        | 7-17                |
| Глина                           | > 17                |

В соответствии с табл. Б.14 ГОСТ 25100-95 «Грунты. Классификация» по показателю текучести глинистые грунты подразделяются (см. табл. 1.3).

Таблица 1.3 – Классификация грунтов в зависимости от значения показателя текучести

| Разновидность глинистых грунтов                                     | Показатель текучести $I_L$ |
|---|----------------------------|
| Супесь:<br>- твердая<br>- пластичная<br>- текучая                   | < 0<br>0-1<br>> 1          |
| Суглинки и глины:<br>- твердые<br>- полутвердые<br>- тугопластичные | < 0<br>0-0,25<br>0,25-0,50 |

| Разновидность глинистых грунтов | Показатель текучести $I_L$ |
|---------------------------------|----------------------------|
| - мягкопластичные               | 0,50-0,75                  |
| - текучепластичные              | 0,75-1,00                  |
| - текучие                       | > 1,00                     |

В соответствии с табл. Б.17 ГОСТ 25100-95 «Грунты. Классификация» по показателю коэффициенту водонасыщения  $Sr$  грунты подразделяются (см. табл. 1.4).

Таблица 1.4 - Классификация грунтов в зависимости от значения коэффициента водонасыщения

| Разновидность грунтов        | Коэффициент водонасыщения<br>$Sr$ , д.е. |
|------------------------------|--|
| Малой степени водонасыщения  | 0-0,50                                   |
| Средней степени водонасыщени | 0,50-0,80                                |
| Насыщенные водой             | 0,80-1,00                                |

В соответствии с табл. Б.18 ГОСТ 25100-95 «Грунты. Классификация» по показателю коэффициенту пористости  $e$  песчаные грунты подразделяются.

Таблица 1.4 - Классификация грунтов в зависимости от значения коэффициента водонасыщения

| Разновидность песков | Коэффициент пористости $e$                     |              |                 |
|----------------------|--|--------------|-----------------|
|                      | Пески гравелистые, крупные и средней крупности | Пески мелкие | Пески пылеватые |
| Плотный              | < 0,55   | < 0,60       | < 0,60          |
| Средней плотности    | 0,55-0,70                                      | 0,60-0,75    | 0,60-0,80       |
| Рыхлый               | > 0,70   | > 0,75       | > 0,80          |

В соответствии с табл. Б.22 ГОСТ 25100-95 «Грунты. Классификация» по относительному содержанию органических веществ глинистые грунты и пески подразделяются (см. табл. 1.5).

Таблица 1.5 - Классификация грунтов по относительному содержанию органических веществ

| Разновидность грунтов | Относительное содержание органиче- |
|-----------------------|------------------------------------|
|-----------------------|------------------------------------|

|                                 | ского вещества Ir, д.е. |           |
|---------------------------------|-------------------------|-----------|
|                                 | глинистые грунты        | пески     |
| Сильнозаторфованный             | 0,50-0,40               | -         |
| Среднезаторфованный             | 0,40-0,25               | -         |
| Слабозаторфованный              | 0,25-0,10               | -         |
| С примесью органических веществ | 0,10-0,05               | 0,10-0,03 |

В соответствии с табл. Б.6 ГОСТ 25100-95 «Грунты. Классификация» по степени водопроницаемости грунты подразделяются:

Таблица 1.6 - Классификация грунтов по степени водопроницаемости

| Разновидность грунтов       | Коэффициент фильтрации $K_f$ , м/сут |
|-----------------------------|--------------------------------------|
| Неводопроницаемый           | <0,005                               |
| Слабоводопроницаемый        | 0,005—0,30                           |
| Водопроницаемый             | 0,30—3                               |
| Сильноводопроницаемый       | 3—30                                 |
| Очень сильноводопроницаемый | >30                                  |

### Задачи к практическому занятию №1.

#### Задача №1.

Число пластичности грунта 0,16, показатель текучести 0,5, влажность на границе пластичности 12 %. Определить степень влажности грунта, если удельный вес воды 10 кН/м<sup>3</sup>, удельный вес частиц грунта 27 кН/м<sup>3</sup>, удельный вес сухого грунта 16,2 кН/м<sup>3</sup>.

#### Задача №2

Влажность грунта на границе пластичности составляет 12 %. Природная влажность грунта 20 %, показатель текучести 0,5, определить вид грунта.

#### Задача №3.

Коэффициент пористости грунта равен 1. Чему равна пористость грунта?

## ПРАКТИЧЕСКОЕ ЗАНЯТИЕ №2. ДЕФОРМАЦИОННЫЕ ХАРАКТЕРИСТИКИ ГРУНТОВ

Механические характеристики грунтов определяются по результатам как лабораторных испытаний (на компрессионных приборах одноосного сжатия, стабилометрах, сдвиговых компрессионных приборах), так и штамповых и прессиометрических испытаний в полевых условиях.

Часть задач по определению модуля деформации, прочностных характеристик грунтов  $c$  и  $\phi$  представлена в виде данных лабораторных испытаний. Для решения их в этом случае необходимо построение графиков.

При штамповых испытаниях в полевых условиях используют формулы (2.1).

$$E = (1 - \mu_0^2) \cdot P \cdot \omega_0 \cdot \frac{b}{S}, \quad (2.1)$$

где  $P$  – давление на грунт в конце линейного участка зависимости;

$S$  – осадка штампа;

$b$  – ширина прямоугольного или диаметр круглого штампа.

В ГОСТе 20276-99 «Грунты. Методы полевого определения характеристик просадочности и деформируемости» приведена следующая формулу (2.2).

$$E = (1 - \mu^2) \cdot k_p \cdot k_1 \cdot D \cdot \frac{\Delta P}{\Delta S}, \quad (2.2)$$

Где  $\mu$  - коэффициент Пуассона, при отсутствии данных принять

$\mu = 0,27$  - для крупнообломочных грунтов;

$\mu = 0,30$  - для песков и супесей;

$\mu = 0,35$  - для суглинков;

$\mu = 0,42$  - для глин.

$k_p$  – коэффициент, зависящий от заглубления штампа  $\frac{h}{D}$ , принимается по табл. 5.5 ГОСТ 20276-99,  $k_p = 1$  – для испытания грунта в котлованах и шурфах;

$k_1$  - коэффициент формы,  $k_1 = 0,79$  - для жесткого круглого штампа;

$D$  – диаметр штампа, см;

$\Delta P = P_n - P_0$  – изменение давления;

$\Delta S = S_n - S_0$  – осадка штампа, соответствующая  $\Delta P$ , см;

Для определения  $P_n, P_0, S_n, S_0$  по данным испытаний строится график  $S=f(P)$ . За начальное значение  $P_0, S_0$  принимается давление  $\sigma_{zg,0}$  – вертикальное нормальное напряжение от собственного веса грунта и соответствующую этому давлению осадку. За конечные значения  $P_n, S_n$  принимаются значения давления и осадки, соответствующие 4-ой точке графика. (Если эти точки оказываются за пределами линейного участка графика, испытания переделываются заново).

Существуют и другие формулы:

формула Шлейхера:

$$E = \left(1 - \mu^2\right) \cdot \frac{\omega_0 \cdot P \cdot \sqrt{F}}{S}, \quad (2.3)$$

где  $\omega_0 = 0,96$  - для круглого штампа;

$\omega_0 = 0,95$  - для квадратного штампа.

Формула НИИ Оснований:

$$E = \alpha \cdot k \cdot \frac{P}{S},$$

где  $\alpha = 1$  - для шурфов;

$\alpha = 0,7$  - для скважин.

$$k = \frac{1 - \varphi^2}{\sqrt{F}} \cdot \frac{\sqrt{2\pi}}{2}.$$

Широко применяются и лабораторные методы исследования физико-механических характеристик грунта.

1. Способ компрессии в одометре.

Компрессия – одноосное сжатие образца вертикальной нагрузкой при условии отсутствия его бокового расширения.

Модуль деформации определяется:

$$E = \frac{p_{i+n} - p_i}{e_{i+n} - e_i} \cdot \beta, \quad (2.4)$$

$$\text{где } \beta = 1 - \frac{2 \cdot \mu^2}{1 - \varphi}.$$

2. Испытания образцов грунта на одноосное сжатие цилиндрического образца, диаметром  $D$  и высотой  $h$ , вертикальной нагрузкой, которую прикладывают ступенями, модуль деформации определяется по формуле:

$$E = \frac{P_{\text{разр}}}{3 \cdot \lambda_{z1}}, \quad (2.5)$$

Где  $P$  – нагрузка, при которой происходит разрушение образца;

$\lambda_{z1} = \frac{\Delta h}{h}$  - относительная деформация образца, соответствующая нагрузке  $P = \frac{1}{3} \cdot P_{\text{разр.}}$ ;

$$\mu_0 = \frac{\lambda_x}{\lambda_z};$$

$\lambda_x = \frac{\Delta D}{D}$  - поперечное относительное расширение образца;

$\lambda_z = \frac{\Delta h}{h}$  - относительное сжатие образца.

$\lambda_x$  и  $\lambda_z$  измеряются в стадии линейного деформирования образца при одной ступени нагружения.

3. При испытании в стабилометре цилиндрический образец диаметром  $D$  и высотой  $h$  разрушается вертикальным давлением  $\sigma_z$  при постоянном значении  $\sigma_x = \sigma_y$ . Для определения модуля деформации используют формулы теории упругости:

$$\lambda_x = \frac{[\sigma_x - \mu_0 \cdot (\sigma_y + \sigma_z)]}{E}; \quad (2.6)$$

$$\lambda_y = \frac{[\sigma_y - \mu_0 \cdot (\sigma_{xy} + \sigma_z)]}{E}; \quad (2.7)$$

$$\lambda_z = \frac{[\sigma_z - \mu_0 \cdot (\sigma_x + \sigma_y)]}{E}. \quad (2.8)$$

$\lambda_x; \lambda_y; \lambda_z$  – относительные величины деформаций образцов грунта в продольном и поперечном назначении;

$\mu_0$  - коэффициент Пуассона или коэффициент бокового расширения грунта:

$$\mu_0 = \frac{\theta \cdot \sigma_z - \lambda_z \cdot (2 \cdot \sigma_x + \sigma_z)}{2 \cdot \theta \cdot \sigma_x - \lambda_x \cdot (4 \cdot \sigma_x + \sigma_z)}, \quad (2.9)$$

где  $\theta$  - относительная объемная деформация грунта, определяемая по объему вытесненной за счет деформации образца во время испытания:

$$\theta = \lambda_x + \lambda_y + \lambda_z, \quad (2.10)$$

или

$$\theta = \frac{\Delta V}{V}. \quad (2.11)$$

В пределах линейной зависимости между общими деформациями (продольными и объемными) и приращением осевого давления  $\sigma_i$  модуль общей (линейной) деформации:

$$E = \frac{\Delta \sigma_i}{\lambda_z}. \quad (2.12)$$

Прочностные характеристики грунта определяются по двум основным уравнениям прочности:

уравнению Кулона:

$$\tau = \sigma \cdot \operatorname{tg}\varphi + C, \quad (2.13)$$

уравнению Ренкина:

$$\sin\varphi = \frac{\sigma_1 - \sigma_2}{\sigma_1 + \sigma_2 + 2 \cdot C \cdot \operatorname{ctg}\varphi}, \quad (2.14)$$

где  $\tau$  - предельное сопротивление грунта сдвигу по некоторой площадке;

$\sigma$  - нормальное напряжение по той же площадке;

$\sigma_1; \sigma_2$  - главные напряжения.

## Задачи к практическому занятию №2

### ЗАДАЧА №1

Какова прочность грунта, если образец его разрушился при сдвигающем усилии, равном 0,12 МПа под давлением 0,2 МПА и при 0,08 МПа под давлением 0,1 МПа.

### ЗАДАЧА №2

По данным полевых испытаний грунтов пробными статическими нагрузками определить модуль деформации глины, являющейся основанием фундамента. Природное давление на уровне подошвы  $\sigma_z=0,05$  МПа. Испытания проводились в шурфе жестким круглым штампом  $D=120$  см.

|                   |   |      |     |      |     |      |      |       |
|-------------------|---|------|-----|------|-----|------|------|-------|
| Давление, МПа     | 0 | 0,05 | 0,1 | 0,15 | 0,2 | 0,25 | 0,3  | 0,35  |
| Осадка штампа, мм | 0 | 0,85 | 2   | 3,45 | 5,1 | 6,95 | 9,45 | 12,55 |

### ЗАДАЧА №3

По данным полевых испытаний грунтов пробными статическими нагрузками определить модуль деформации глины, являющейся основанием фундамента. Природное давление на уровне подошвы  $\sigma_z=0,15$  МПа. Испытания проводились в шурфе жестким круглым штампом  $D=120$  см. (3 б.)

|                   |   |      |     |      |     |      |      |       |
|-------------------|---|------|-----|------|-----|------|------|-------|
| Давление, МПа     | 0 | 0,05 | 0,1 | 0,15 | 0,2 | 0,25 | 0,3  | 0,35  |
| Осадка штампа, мм | 0 | 0,85 | 2   | 3,45 | 5,1 | 6,95 | 9,45 | 12,55 |

**ЗАДАЧА №4**

При испытании образца грунта высотой  $h=12$  см в стабилометре получена следующая зависимость.

|                  |      |      |      |      |     |     |
|------------------|------|------|------|------|-----|-----|
| Давление,<br>МПа | 0,01 | 0,05 | 0,10 | 0,20 | 0,4 | 0,8 |
| $\Delta h$ , мм  | 0,05 | 0,20 | 0,40 | 1,2  | 3,2 | 6,7 |

Определить модуль общей (линейной) деформации.

## ПРАКТИЧЕСКОЕ ЗАНЯТИЕ №3. РАСПРЕДЕЛЕНИЕ НАПРЯЖЕНИЙ В ОСНОВАНИИ

**Равномерно-распределенная нагрузка.** [СП 22.13330 «Основания зданий и сооружений»]. Дополнительные вертикальные напряжения на глубине  $z$  от подошвы фундамента:  $\sigma_{zp}$  - по вертикали, проходящей через центр подошвы фундамента, и  $\sigma_{zp,c}$  - по вертикали, проходящей через угловую точку прямоугольного фундамента, определяются по формулам:

$$\sigma_{zp} = \alpha p_0; \quad (3.1)$$

$$\sigma_{zp,c} = \alpha p_0/4, \quad (3.2)$$

где  $\alpha$  - коэффициент, принимаемый по [табл.1](#) в зависимости от формы подошвы фундамента, соотношения сторон прямоугольного фундамента и относительной глубины, равной:  $\xi=2z/b$  при определении  $\sigma_{zp}$  и  $\xi=z/b$  при определении  $\sigma_{zp,c}$ ;

$p_0 = p - \sigma_{zg,0}$  - дополнительное вертикальное давление на основание (для фундаментов шириной  $b \geq 10$  м принимается  $p_0 = p$ );

$p$  - среднее давление под подошвой фундамента;

$\sigma_{zg,0}$  - вертикальное напряжение от собственного веса грунта на уровне подошвы фундамента (при планировке срезкой принимается  $\sigma_{zg,0} = \gamma_d$ , при отсутствии планировки и планировке подсыпкой  $\sigma_{zg,0} = \gamma d_n$ , где  $\gamma'$  - удельный вес грунта, расположенного выше подошвы,  $d$  и  $d_n$  - обозначены на [рис.1](#)).

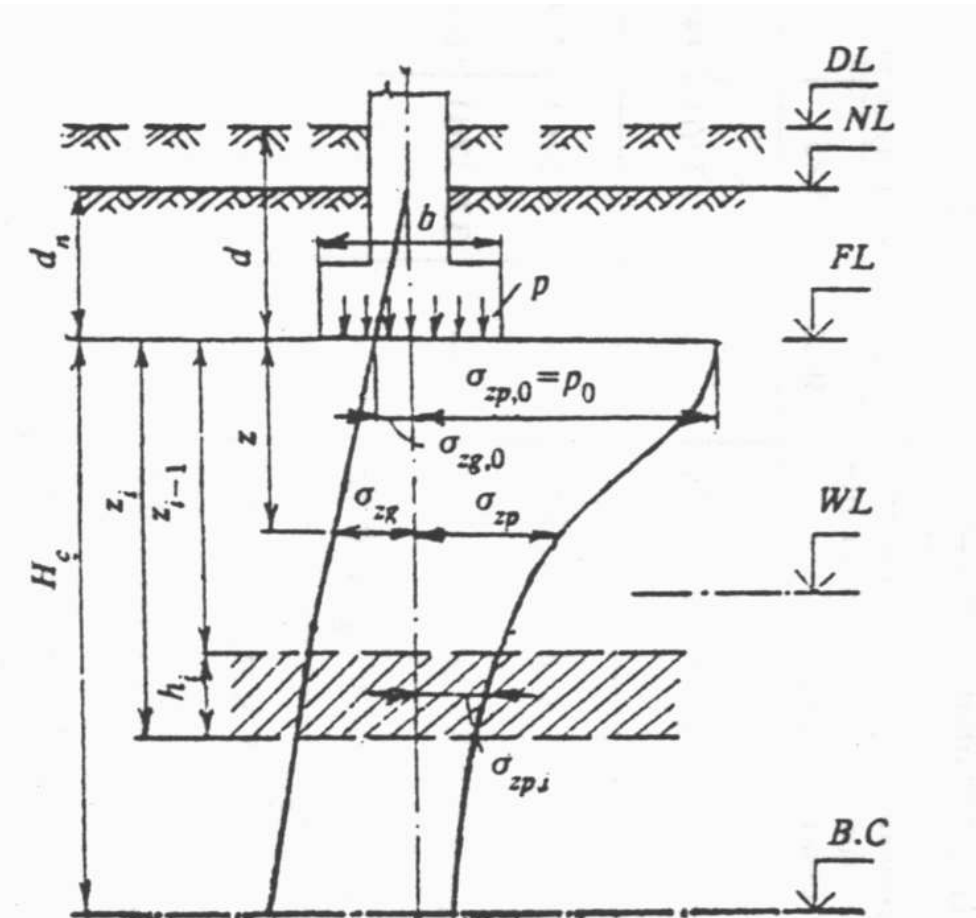


Рисунок 3.1 - Схема распределения вертикальных напряжений в линейно-деформируемом полупространстве DL - отметка планировки; NL - отметка поверхности природного рельефа; FL - отметка подошвы фундамента; WL - уровень подземных вод; В.С - нижняя граница сжимаемой толщи;  $d$  и  $d_n$  глубина заложения фундамента соответственно от уровня планировки и поверхности природного рельефа;  $b$  - ширина фундамента;  $p$  - среднее давление под подошвой фундамента;  $p_0$  - дополнительное давление на основание;  $\sigma_{zg}$  и  $\sigma_{zg,0}$  - дополнительное вертикальное напряжение от внешней нагрузки на глубине  $z$  от подошвы фундамента и на уровне подошвы;  $\sigma_{zp}$  и  $\sigma_{zp,0}$  - дополнительное вертикальное напряжение от внешней нагрузки на глубине  $z$  от подошвы фундамента и на уровне подошвы;  $H_c$  – глубина сжимаемой толщи

Таблица 3.1 - Коэффициент  $\alpha$

|              |                                      |
|--------------|--------------------------------------|
| $\xi = 2z/b$ | Коэффициент $\alpha$ для фундаментов |
|--------------|--------------------------------------|

|      | круглых | прямоугольных с соотношением<br>сторон $\eta = 1/b$ , равным |       |       |       |       |       | ленточных<br>( $\eta \geq 10$ ) |
|------|---------|--|-------|-------|-------|-------|-------|---------------------------------|
|      |         | 1,0  | 1,4   | 1,8   | 2,4   | 3,2   | 5     |                                 |
| 0    | 1,000   | 1,000  | 1,000 | 1,000 | 1,000 | 1,000 | 1,000 | 1,000                           |
| 0,4  | 0,949   | 0,960  | 0,972 | 0,975 | 0,976 | 0,977 | 0,977 | 0,977                           |
| 0,8  | 0,756   | 0,800  | 0,848 | 0,866 | 0,876 | 0,879 | 0,881 | 0,881                           |
| 1,2  | 0,547   | 0,606  | 0,682 | 0,717 | 0,739 | 0,749 | 0,754 | 0,755                           |
| 1,6  | 0,390   | 0,449  | 0,532 | 0,578 | 0,612 | 0,629 | 0,639 | 0,642                           |
| 2,0  | 0,285   | 0,336  | 0,414 | 0,463 | 0,505 | 0,530 | 0,545 | 0,550                           |
| 2,4  | 0,214   | 0,257  | 0,325 | 0,374 | 0,419 | 0,449 | 0,470 | 0,477                           |
| 2,8  | 0,165   | 0,201  | 0,260 | 0,304 | 0,349 | 0,383 | 0,410 | 0,420                           |
| 3,2  | 0,130   | 0,160  | 0,210 | 0,251 | 0,294 | 0,329 | 0,360 | 0,374                           |
| 3,6  | 0,106   | 0,131  | 0,173 | 0,209 | 0,250 | 0,285 | 0,319 | 0,337                           |
| 4,0  | 0,087   | 0,108  | 0,145 | 0,176 | 0,214 | 0,248 | 0,285 | 0,306                           |
| 4,4  | 0,073   | 0,091  | 0,123 | 0,150 | 0,185 | 0,218 | 0,255 | 0,280                           |
| 4,8  | 0,062   | 0,077  | 0,105 | 0,130 | 0,161 | 0,192 | 0,230 | 0,258                           |
| 5,2  | 0,053   | 0,067  | 0,091 | 0,113 | 0,141 | 0,170 | 0,208 | 0,239                           |
| 5,6  | 0,046   | 0,058  | 0,079 | 0,099 | 0,124 | 0,152 | 0,189 | 0,223                           |
| 6,0  | 0,040   | 0,051  | 0,070 | 0,087 | 0,110 | 0,136 | 0,173 | 0,208                           |
| 6,4  | 0,036   | 0,045  | 0,062 | 0,077 | 0,099 | 0,122 | 0,158 | 0,196                           |
| 6,8  | 0,031   | 0,040  | 0,055 | 0,064 | 0,088 | 0,110 | 0,145 | 0,185                           |
| 7,2  | 0,028   | 0,036  | 0,049 | 0,062 | 0,080 | 0,100 | 0,133 | 0,175                           |
| 7,6  | 0,024   | 0,032  | 0,044 | 0,056 | 0,072 | 0,091 | 0,123 | 0,166                           |
| 8,0  | 0,022   | 0,029  | 0,040 | 0,051 | 0,066 | 0,084 | 0,113 | 0,158                           |
| 8,4  | 0,021   | 0,026  | 0,037 | 0,046 | 0,060 | 0,077 | 0,105 | 0,150                           |
| 8,8  | 0,019   | 0,024  | 0,033 | 0,042 | 0,055 | 0,071 | 0,098 | 0,143                           |
| 9,2  | 0,017   | 0,022  | 0,031 | 0,039 | 0,051 | 0,065 | 0,091 | 0,137                           |
| 9,6  | 0,016   | 0,020  | 0,028 | 0,036 | 0,047 | 0,060 | 0,085 | 0,132                           |
| 10,0 | 0,015   | 0,019  | 0,026 | 0,033 | 0,043 | 0,056 | 0,079 | 0,126                           |
| 10,4 | 0,014   | 0,017  | 0,024 | 0,031 | 0,040 | 0,052 | 0,074 | 0,122                           |
| 10,8 | 0,013   | 0,016  | 0,022 | 0,029 | 0,037 | 0,049 | 0,069 | 0,117                           |
| 11,2 | 0,012   | 0,015  | 0,021 | 0,027 | 0,035 | 0,045 | 0,065 | 0,113                           |
| 11,6 | 0,011   | 0,014  | 0,020 | 0,025 | 0,033 | 0,042 | 0,061 | 0,109                           |
| 12,0 | 0,010   | 0,013  | 0,018 | 0,023 | 0,031 | 0,040 | 0,058 | 0,106                           |

В таблице 3.1 обозначено:  $b$  - ширина или диаметр фундамента,  $l$  - длина фундамента. Для фундаментов, имеющих подошву в форме правильного многоугольника с площадью  $A$ , значения  $\alpha$  принимаются как для круглых фундаментов радиусом  $r=\sqrt{A/\pi}$ .

Для промежуточных значений  $\xi$  и  $\eta$  коэффициент  $\alpha$  определяется по интерполяции.

### **Сосредоточенная нагрузка на основание [Н.А. Цытович «Механика грунтов»]**

$$\sigma_z = K \frac{P}{z^2}. \quad (61)$$

Формула (61), выражающая величину сжимающих напряжений в массиве грунта для площадок, параллельных ограничивающей плоскости, имеет наибольшее число практических приложений.

Вблизи точки приложения сосредоточенной силы сжимающие напряжения, как и следовало ожидать, достигают чрезвычайно большой величины, и материал массива претерпевает пластические деформации. Это обстоятельство заставляет исключать из рассмотрения некоторую область вокруг точки приложения сосредоточенной силы (полушар радиуса  $r$ ) и вычислять сжимающие напряжения по формуле (61) только на некотором расстоянии от точки приложения сосредоточенной силы.

Для упрощения расчетов по формуле (61) в табл. 9 приведены значения коэффициента  $K$ .

Таблица 9

Значения коэффициента  $K$ 

| Отношение<br>$r/z$ | Коэффициент<br>$K$ | Отношение<br>$r/z$ | Коэффициент<br>$K$ | Отношение<br>$r/z$ | Коэффициент<br>$K$ | Отношение<br>$r/z$ | Коэффициент<br>$K$ |
|--------------------|--------------------|--------------------|--------------------|--------------------|--------------------|--------------------|--------------------|
| 0                  | 0,4775             | 0,18               | 0,4409             | 0,36               | 0,3521             | 0,54               | 0,2518             |
| 0,01               | 0,4773             | 0,19               | 0,4370             | 0,37               | 0,3465             | 0,55               | 0,2466             |
| 0,02               | 0,4770             | 0,2                | 0,4329             | 0,38               | 0,3408             | 0,56               | 0,2414             |
| 0,03               | 0,4764             | 0,21               | 0,4286             | 0,39               | 0,3351             | 0,57               | 0,2363             |
| 0,04               | 0,4756             | 0,22               | 0,4242             | 0,4                | 0,3294             | 0,58               | 0,2313             |
| 0,05               | 0,4745             | 0,23               | 0,4197             | 0,41               | 0,3238             | 0,59               | 0,2263             |
| 0,06               | 0,4732             | 0,24               | 0,4151             | 0,42               | 0,3181             | 0,6                | 0,2214             |
| 0,07               | 0,4717             | 0,25               | 0,4103             | 0,43               | 0,3124             | 0,61               | 0,2165             |
| 0,08               | 0,4699             | 0,26               | 0,4054             | 0,44               | 0,3068             | 0,62               | 0,2117             |
| 0,09               | 0,4679             | 0,27               | 0,4004             | 0,45               | 0,3011             | 0,63               | 0,2070             |
| 0,1                | 0,4657             | 0,28               | 0,3954             | 0,46               | 0,2955             | 0,64               | 0,2024             |
| 0,11               | 0,4633             | 0,29               | 0,3902             | 0,47               | 0,2899             | 0,65               | 0,1978             |
| 0,12               | 0,4607             | 0,3                | 0,3849             | 0,48               | 0,2843             | 0,66               | 0,1934             |
| 0,13               | 0,4579             | 0,31               | 0,3796             | 0,49               | 0,2788             | 0,67               | 0,1889             |
| 0,14               | 0,4548             | 0,32               | 0,3742             | 0,5                | 0,2733             | 0,68               | 0,1846             |
| 0,15               | 0,4516             | 0,33               | 0,3687             | 0,51               | 0,2679             | 0,69               | 0,1804             |
| 0,16               | 0,4482             | 0,34               | 0,3632             | 0,52               | 0,2625             | 0,7                | 0,1762             |
| 0,17               | 0,4446             | 0,35               | 0,3577             | 0,53               | 0,2571             | 0,71               | 0,1721             |

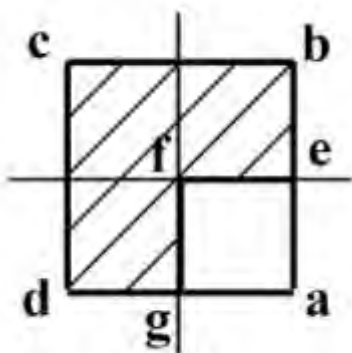
Продолжение табл. 9

| Отношение $r/z$ | Коэффициент $K$ |
|-----------------|-----------------|-----------------|-----------------|-----------------|-----------------|-----------------|-----------------|
| 0,72            | 0,1681          | 1,04            | 0,0764          | 1,36            | 0,0348          | 1,68            | 0,0167          |
| 0,73            | 0,1641          | 1,05            | 0,0744          | 1,37            | 0,0340          | 1,69            | 0,0163          |
| 0,74            | 0,1603          | 1,06            | 0,0727          | 1,38            | 0,0332          | 1,7             | 0,0160          |
| 0,75            | 0,1565          | 1,07            | 0,0709          | 1,39            | 0,0324          | 1,72            | 0,0153          |
| 0,76            | 0,1527          | 1,08            | 0,0691          | 1,4             | 0,0317          | 1,74            | 0,0147          |
| 0,77            | 0,1491          | 1,09            | 0,0674          | 1,41            | 0,0309          | 1,76            | 0,0141          |
| 0,78            | 0,1455          | 1,1             | 0,0658          | 1,42            | 0,0302          | 1,78            | 0,0135          |
| 0,79            | 0,1420          | 1,11            | 0,0641          | 1,43            | 0,0295          | 1,8             | 0,0129          |
| 0,8             | 0,1386          | 1,12            | 0,0626          | 1,44            | 0,0283          | 1,82            | 0,0124          |
| 0,81            | 0,1353          | 1,13            | 0,0610          | 1,45            | 0,0282          | 1,84            | 0,0119          |
| 0,82            | 0,1320          | 1,14            | 0,0595          | 1,46            | 0,0275          | 1,86            | 0,0114          |
| 0,83            | 0,1288          | 1,15            | 0,0581          | 1,47            | 0,0269          | 1,88            | 0,0109          |
| 0,84            | 0,1257          | 1,16            | 0,0567          | 1,48            | 0,0263          | 1,9             | 0,0105          |
| 0,85            | 0,1226          | 1,17            | 0,0553          | 1,49            | 0,0257          | 1,92            | 0,0101          |
| 0,86            | 0,1196          | 1,18            | 0,0539          | 1,5             | 0,0251          | 1,94            | 0,0097          |
| 0,87            | 0,1166          | 1,19            | 0,0526          | 1,51            | 0,0245          | 1,96            | 0,0093          |
| 0,88            | 0,1138          | 1,2             | 0,0513          | 1,52            | 0,0240          | 1,98            | 0,0089          |
| 0,89            | 0,1110          | 1,21            | 0,0501          | 1,53            | 0,0234          | 2               | 0,0085          |
| 0,9             | 0,1083          | 1,22            | 0,0489          | 1,54            | 0,0229          | 2,1             | 0,0070          |
| 0,91            | 0,1057          | 1,23            | 0,0477          | 1,55            | 0,0224          | 2,2             | 0,0058          |
| 0,92            | 0,1031          | 1,24            | 0,0466          | 1,56            | 0,0219          | 2,3             | 0,0048          |
| 0,93            | 0,1005          | 1,25            | 0,0454          | 1,57            | 0,0214          | 2,4             | 0,0040          |
| 0,94            | 0,0981          | 1,26            | 0,0443          | 1,58            | 0,0209          | 2,5             | 0,0034          |
| 0,95            | 0,0956          | 1,27            | 0,0433          | 1,59            | 0,0204          | 2,6             | 0,0029          |
| 0,96            | 0,0933          | 1,28            | 0,0422          | 1,6             | 0,0200          | 2,7             | 0,0024          |
| 0,97            | 0,0910          | 1,29            | 0,0412          | 1,61            | 0,0195          | 2,8             | 0,0021          |
| 0,98            | 0,0887          | 1,3             | 0,0402          | 1,62            | 0,0191          | 2,9             | 0,0017          |
| 0,99            | 0,0865          | 1,31            | 0,0393          | 1,63            | 0,0187          | 3               | 0,0015          |
| 1               | 0,0844          | 1,32            | 0,0384          | 1,64            | 0,0183          | 3,5             | 0,0007          |
| 1,01            | 0,0823          | 1,33            | 0,0374          | 1,65            | 0,0179          | 4               | 0,0004          |
| 1,02            | 0,0803          | 1,34            | 0,0365          | 1,66            | 0,0175          | 4,5             | 0,0002          |
| 1,03            | 0,0783          | 1,35            | 0,0357          | 1,67            | 0,0171          | 5               | 0,0001          |

## Задачи к практическому занятию №3

### Задача №1.

Фундамент имеет размеры в плане  $2 \times 2$  м и передает на основание распределенную нагрузку интенсивностью 200 кПа. Определить напряжения на глубине 1 м от незагруженной поверхности основания в точке (a), отстоящей от середины стороны фундамента на расстоянии 1 м.



### ЗАДАЧА №2

Методом угловых точек определить сжимающие напряжения на глубине  $z$  в точке  $O$ , находящейся, от контура равномерно загруженного прямоугольного фундамента размером  $l \times b$ , на расстоянии  $a$  против середины длинной стороны. (3 б.)

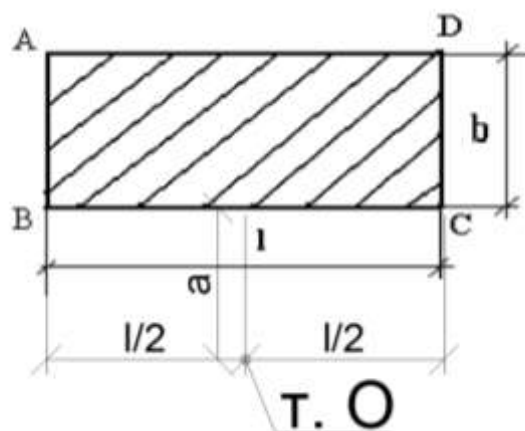


Рисунок 1. Расчетная схема к задаче №2.

Таблица 1.

| №<br>п/п | А      |      |      | Б    |      |
|----------|--------|------|------|------|------|
|          | p, МПа | l, м | b, м | a, м | z, м |
| 0        | 0,15   | 3,00 | 1,50 | 0,60 | 1,90 |
| 1        | 0,20   | 1,70 | 1,20 | 0,80 | 1,40 |
| 2        | 0,25   | 2,80 | 2,00 | 1,00 | 1,60 |
| 3        | 0,30   | 2,90 | 1,80 | 1,20 | 1,80 |
| 4        | 0,30   | 2,40 | 2,00 | 1,40 | 2,10 |
| 5        | 0,25   | 2,10 | 1,50 | 1,20 | 1,90 |
| 6        | 0,20   | 3,50 | 2,50 | 1,80 | 1,50 |
| 7        | 0,20   | 3,20 | 2,00 | 1,50 | 2,00 |
| 8        | 0,25   | 3,60 | 2,00 | 1,30 | 1,60 |
| 9        | 0,30   | 3,30 | 1,80 | 1,60 | 1,40 |

## ПРАКТИЧЕСКОЕ ЗАНЯТИЕ №4. ОПРЕДЕЛЕНИЕ РАСЧЕТНОГО СОПРОТИВЛЕНИЯ ГРУНТА

При расчете деформаций основания среднее давление под подошвой фундамента  $p$  не должно превышать расчетного сопротивления грунта основания  $R$ , кПа ( $\text{тс}/\text{м}^2$ ), определяемого по формуле

$$R = \frac{\gamma_{c1}\gamma_{c2}}{k} [M_\gamma k_z b \gamma'_{II} + M_q d_1 \gamma'_{II} + (M_q - 1) d_b \gamma'_{II} + M_c c_{II}] \quad (4.1)$$

где  $\gamma_{c1}$  и  $\gamma_{c2}$  - коэффициенты, условий работы, принимаемые по [табл. 1](#);

$k$  -коэффициент, принимаемый равным:  $k_1 = 1$ , если прочностные характеристики грунта ( $\phi$  и  $c$ ) определены непосредственными испытаниями, и  $k_1 = 1,1$ , если они приняты по [табл. 1-3](#) рекомендуемого [приложения 1](#) СНиП «Основания зданий и сооружений»;

$M_\gamma$ ,  $M_q$ ,  $M_c$  - коэффициенты, принимаемые по [табл. 2](#);

$k_z$  - коэффициент, принимаемый равным:

при  $b < 10$  м -  $k_z = 1$ , при  $b \geq 10$  м -  $k_z = z_0/b + 0,2$  (здесь  $z_0 = 8$  м);

$b$  - ширина подошвы фундамента, м;

$\gamma_{II}$  - осредненное расчетное значение удельного веса грунтов, залегающих ниже подошвы фундамента (при наличии подземных вод определяется с учетом взвешивающего действия воды),  $\text{kH}/\text{м}^3$  ( $\text{тс}/\text{м}^3$ );

$\gamma'$  - то же, залегающих выше подошвы;

$c_{II}$  -расчетное значение удельного сцепления грунта, залегающего непосредственно под подошвой фундамента, кПа ( $\text{тс}/\text{м}^2$ );

$d_1$  - глубина заложения фундаментов бесподвальных сооружений от уровня планировки или приведенная глубина заложения наружных и внутренних фундаментов от пола подвала, определяемая по формуле

$$d_1 = h_s + h_{cf} \gamma_{cf} / \gamma'_{II}, \quad (2)$$

где  $h_s$  - толщина слоя грунта выше подошвы фундамента со стороны подвала, м;

$h_{cf}$  - толщина конструкции пола подвала, м;

$\gamma_{cf}$  - расчетное значение удельного веса конструкции пола подвала, кН/м<sup>3</sup> (тс/м<sup>3</sup>);

$d_b$  - глубина подвала - расстояние от уровня планировки до пола подвала, м (для сооружений с подвалом шириной  $B \leq 20$  м и глубиной свыше 2 м принимается  $d_b = 2$  м, при ширине подвала  $B > 20$  м -  $d_b = 0$ ).

Примечания: 1. [Формулу \(1\)](#) допускается применять при любой форме фундаментов в плане. Если подошва фундамента имеет форму круга или правильного многоугольника площадью  $A$ , принимается  $b = \sqrt{A}$

2. Расчетные значения удельного веса грунтов и материала пола подвала, входящие в [формулу \(1\)](#), допускается принимать равными их нормативным значениям.

3. Расчетное сопротивление грунта при соответствующем обосновании может быть увеличено, если конструкция фундамента улучшает условия его совместной работы с основанием.

4. Для фундаментных плит с угловыми вырезами расчетное сопротивление грунта основания допускается увеличивать на 15 %.

5. Если  $d_1 > d$  ( $d$  - глубина заложения фундамента от уровня планировки) в [формуле \(1\)](#) принимается  $d_1 = d$  и  $d_b = 0$ .

Таблица 5.1

| Грунты  | Коэффициент $\gamma_{c1}$ | Коэффициент $\gamma_{c2}$ для сооружений с жесткой конструктивной схемой при отношении длины сооружения или его отсека к высоте $L/H$ , равном |             |
|---|---------------------------|--|-------------|
|   |                           | 4 и более  | 1,5 и менее |
| Крупнообломочные с песчаным заполнителем и песчаные, кроме мелких и пылеватых | 1,4                       | 1,2  | 1,4         |
| Пески мелкие  | 1,3                       | 1,1  | 1,3         |
| Пески пылеватые:  |                           |  |             |
| маловлажные и влажные   | 1,25                      | 1,0  | 1,2         |
| насыщенные водой  | 1,1                       | 1,0  | 1,2         |

| Грунты  | Коэффициент<br>$\gamma_{c1}$ | Коэффициент $\gamma_{c2}$ для сооружений с жесткой конструктивной схемой при отношении длины сооружения или его отсека к высоте L/H, равном |             |
|---|------------------------------|---|-------------|
|   |                              | 4 и более   | 1,5 и менее |
| Пылевато-глинистые, а также крупнообломочные с пылевато-глинистым заполнителем с показателем текучести грунта или заполнителя $I_L \leq 0,25$       | 1,25                         | 1,0   | 1,2         |
| Пылевато-глинистые, а также крупнообломочные с пылевато-глинистым заполнителем с показателем текучести грунта или заполнителя $0,25 < I_L \leq 0,5$ | 1,2                          | 1,0   | 1,1         |
| Пылевато-глинистые, а также крупнообломочные с пылевато-глинистым заполнителем с показателем текучести грунта или заполнителя $I_L > 0,5$           | 1,0                          | 1,0   | 1,0         |

К сооружениям с жесткой конструктивной схемой относятся сооружения, конструкции которых специально приспособлены к восприятию усилий от деформации оснований. Для зданий с гибкой конструктивной схемой значение коэффициента  $\gamma_{c2}$  принимается равным единице. При промежуточных значениях L/H коэффициент  $\gamma_{c2}$  определяется по интерполяции.

Таблица 5.2

| Угол внутреннего трения, $\phi_{II}$ , град. | Коэффициенты |       |       | Угол внутреннего трения, $\phi_{II}$ , град. | Коэффициенты |       |       |
|--|--------------|-------|-------|--|--------------|-------|-------|
|  | $M_\gamma$   | $M_q$ | $M_c$ |  | $M_\gamma$   | $M_q$ | $M_c$ |
| 0  | 0            | 1,00  | 3,14  | 23   | 0,69         | 3,65  | 6,24  |
| 1  | 0,01         | 1,06  | 3,23  | 24   | 0,72         | 3,87  | 6,45  |
| 2  | 0,03         | 1,12  | 3,32  | 25   | 0,78         | 4,11  | 6,67  |
| 3  | 0,04         | 1,18  | 3,41  | 26   | 0,84         | 4,37  | 6,90  |
| 4  | 0,06         | 1,25  | 3,51  | 27   | 0,91         | 4,64  | 7,14  |
| 5  | 0,08         | 1,32  | 3,61  | 28   | 0,98         | 4,93  | 7,40  |
| 6  | 0,10         | 1,39  | 3,71  | 29   | 1,06         | 5,25  | 7,67  |
| 7  | 0,12         | 1,47  | 3,82  | 30   | 1,15         | 5,59  | 7,95  |
| 8  | 0,14         | 1,55  | 3,93  | 31   | 1,24         | 5,95  | 8,24  |
| 9  | 0,16         | 1,64  | 4,05  | 32   | 1,34         | 6,34  | 8,55  |
| 10   | 0,18         | 1,73  | 4,17  | 33   | 1,44         | 6,76  | 8,88  |
| 11   | 0,21         | 1,83  | 4,29  | 34   | 1,55         | 7,22  | 9,22  |
| 12   | 0,23         | 1,94  | 4,42  | 35   | 1,68         | 7,71  | 9,58  |
| 13   | 0,26         | 2,05  | 4,55  | 36   | 1,81         | 8,24  | 9,97  |
| 14   | 0,29         | 2,17  | 4,69  | 37   | 1,95         | 8,81  | 10,37 |
| 15   | 0,32         | 2,30  | 4,84  | 38   | 2,11         | 9,44  | 10,80 |
| 16   | 0,36         | 2,43  | 4,99  | 39   | 2,28         | 10,11 | 11,25 |
| 17   | 0,39         | 2,57  | 5,15  | 40   | 2,46         | 10,85 | 11,73 |
| 18   | 0,43         | 2,73  | 5,31  | 41   | 2,66         | 11,64 | 12,24 |
| 19   | 0,47         | 2,89  | 5,48  | 42   | 2,88         | 12,51 | 12,79 |
| 20   | 0,51         | 3,06  | 5,66  | 43   | 3,12         | 13,46 | 13,37 |
| 21   | 0,56         | 3,24  | 5,84  | 44   | 3,38         | 14,50 | 13,98 |
| 22   | 0,61         | 3,44  | 6,04  | 45   | 3,66         | 15,64 | 14,64 |

Расчетное сопротивление грунта основания  $R$ , вычисленное по формуле (1), может быть повышенено в 1,2 раза, если расчетные деформации основания (при давлении, равном  $R$ ) не превосходят 40 % предельных значений. При этом повышенное давление не должно вызывать деформации основания свыше 50 % предельных и превышать значения давления из условия расчета оснований по несущей способности в соответствии с требованиями.

## **Задачи к практическому занятию №4**

### **Задача №1**

Определить ширину подошвы сборного ленточного фундамента мелкого заложения для жилого дома.

Дано: Расчетная нагрузка, приходящаяся на 1 м длины фундамента

$N = 195 \text{ кН/м}$ . Основание фундамента – супесь с характеристиками:  $\phi = 20^\circ$ ,  $C = 3 \text{ кПа}$ . Удельный вес бетона  $\gamma = 23 \text{ кН/м}^3$ . Среднее значение удельного веса фундамента и грунта на его уступах  $\gamma = 20 \text{ кН/м}^3$ . Глубина заложения фундамента  $d = 2,2 \text{ м}$ .

### **Задача №2.**

Определить размеры подошвы внецентренно нагруженного фундамента.

Дано: Вертикальная нагрузка  $N = 1550 \text{ кН}$  и момент  $450 \text{ кН}\cdot\text{м}$ .

Глубина заложения фундамента  $d = 2,2 \text{ м}$ . Подвала нет,  $d_b = 0$ . Угол внутреннего трения грунта  $\phi = 20^\circ$ ;  $C = 13 \text{ кПа}$ .

## ПРАКТИЧЕСКОЕ ЗАНЯТИЕ №5. РАСЧЕТ ОСНОВАНИЙ ПО НЕСУЩЕЙ СПОСОБНОСТИ

Расчет оснований по несущей способности производится исходя из условия

$$F \leq \gamma_c F_u / \gamma_n, \quad (5.1)$$

где  $F$  - расчетная нагрузка на основание, определяемая по указаниям;

$F_u$  - сила предельного сопротивления основания;

$\gamma_c$  - коэффициент условий работы, принимаемый:

для песков, кроме пылеватых  $\gamma_c = 1,0$

для песков пылеватых, а также пылевато-глинистых грунтов в стабилизированном состоянии  $\gamma_c = 0,9$

для пылевато-глинистых грунтов в нестабилизированном состоянии  $\gamma_c = 0,85$

для скальных грунтов:

невыветрелых и слабовыветрелых  $\gamma_c = 1,0$

выветрелых  $\gamma_c = 0,9$

сильновыветрелых  $\gamma_c = 0,8$

$\gamma_n$  - коэффициент надежности по назначению сооружения, принимаемый равным 1,2; 1,15 и 1,10 соответственно для зданий и сооружений I, II и III классов.

$$b' = b - 2e_b; \quad l' = l - 2e_l, \quad (5.2)$$

здесь  $e_b$  и  $e_l$  - соответственно эксцентрикитеты приложения равнодействующей нагрузок в направлении поперечной и продольной осей фундамента, м.

Вертикальную составляющую силы предельного сопротивления  $N_u$  основания, сложенного нескалыми грунтами в стабилизированном состоянии, допускается определять по [формуле \(5\)](#), если фундамент имеет плоскую подошву и грунты основания ниже подошвы однородны до глубины не менее ее ширины, а в случае различной вертикальной пригрузки с разных сторон фундамента интенсивность большей из них не превышает  $0,5R$  ( $R$  - расчетное сопротивление грунта основания, определяемое в соответствии с (1)):

$$N_u = b'l'(N_\gamma \xi_\gamma b'\gamma_I + N_q \xi_q \gamma'_I d + N_c \xi_c c_I), \quad (5.3)$$

где  $b'$  и  $l'$  - обозначения те же, что в [формуле \(4\)](#), причем символом  $b$  обозначена сторона фундамента, в направлении которой предполагается потеря устойчивости основания;

$N_\gamma, N_q, N_c$  - безразмерные коэффициенты несущей способности, определяемые по [табл.3](#) в зависимости от расчетного значения угла внутреннего трения грунта  $\phi_I$  и угла наклона к вертикалам  $\delta$  равнодействующей внешней нагрузки на основание  $F$  в уровне подошвы фундамента;

$\gamma_1$  и  $\gamma'_1$  - расчетные значения удельного веса грунтов,  $\text{kH/m}^3$  ( $\text{tc/m}^3$ ), находящихся в пределах возможной призмы выпиления соответственно ниже и выше подошвы фундамента (при наличии подземных вод определяются с учетом взвешивающего действия воды);

$c_1$  - расчетное значение удельного сцепления грунта,  $\text{kPa}$  ( $\text{tc/m}^2$ );

$d$  - глубина заложения фундамента, м (в случае неодинаковой вертикальной пригрузки с разных сторон фундамента принимается значение  $d$ , соответствующее наименьшей пригрузке, например, со стороны подвала);

$\xi_\gamma, \xi_q, \xi_c$  - коэффициенты формы фундамента, определяемые по формулам:

$$\xi_\gamma = 1 - 0,25/\eta; \quad \xi_q = 1 + 1,5/\eta; \quad \xi_c = 1 + 0,3/\eta, \quad (5.4)$$

здесь  $\eta = l/b$ ;

$l$  и  $b$  - соответственно длина и ширина подошвы фундамента, принимаемые в случае внецентренного приложения равнодействующей нагрузки равными приведенным значениям, определяемым по [формулам \(5\)](#).

Если  $\eta = l/b < 1$ , в [формулах \(6\)](#) следует принимать  $\eta = 1$ .

Угол наклона к вертикалам  $\delta$  равнодействующей внешней нагрузки на основание определяется из условия

$$\operatorname{tg} \delta = F_h/F_v, \quad (7)$$

где  $F_h$  и  $F_v$  - соответственно горизонтальная и вертикальная составляющие внешней нагрузки на основание  $F$  в уровне подошвы фундамента.

Расчет по [формуле \(5\)](#) допускается выполнять, если соблюдается условие

$$\operatorname{tg} \delta < \sin \phi_I. \quad (11)$$

При использовании [формулы \(8\)](#) в случае неодинаковой пригрузки с разных сторон фундамента в составе горизонтальных нагрузок следует учитывать активное давление грунта.

Если [условие \(11\)](#) не выполняется, следует производить расчет фундамента на сдвиг по подошве.

Таблица 3

| Угол внутреннего грунта $\phi_I$ , град | Обозначение коэффициентов    | Коэффициенты несущей способности $N_\gamma$ , $N_q$ , $N_c$ при углах наклона к вертикали равнодействующей внешней нагрузки $\delta$ , град, равных |  |  |  |  |                     |  |                  |    |    |
|---|------------------------------|---|--|--|--|--|---------------------|--|------------------|----|----|
|   |                              | 0   | 5  | 10   | 15   | 20   | 25                  | 30   | 35               | 40 | 45 |
| 0                                       | $N_\gamma$<br>$N_q$<br>$N_c$ | 0<br>1,00<br>5,14   | -  | -  | -  | -  | -                   | -  | -                | -  | -  |
| 5                                       | $N_\gamma$<br>$N_q$<br>$N_c$ | 0,20<br>1,57<br>6,49  | $\left\{ \begin{array}{l} 0,05 \\ 1,26 \\ 2,93 \end{array} \right\}$ | $\delta' =$<br>4,9   | -  | -  | -                   | -  | -                | -  | -  |
| 10                                      | $N_\gamma$<br>$N_q$<br>$N_c$ | 0,60<br>2,47<br>8,34  | 0,42<br>2,16<br>6,57   | $\left\{ \begin{array}{l} 0,12 \\ 1,60 \\ 3,38 \end{array} \right\}$ | $\delta' =$<br>9,8   | -  | -                   | -  | -                | -  | -  |
| 15                                      | $N_\gamma$<br>$N_q$<br>$N_c$ | 1,35<br>3,94<br>10,9<br>8   | 1,02<br>3,45<br>9,13   | 0,61<br>2,84<br>6,88   | $\left\{ \begin{array}{l} 0,21 \\ 2,06 \\ 3,94 \end{array} \right\}$ | $\delta' =$<br>14,5  | -                   | -  | -                | -  | -  |
| 20                                      | $N_\gamma$<br>$N_q$<br>$N_c$ | 2,88<br>6,40<br>14,8<br>4   | 2,18<br>5,56<br>12,5<br>3  | 1,47<br>4,64<br>10,0<br>2  | 0,82<br>3,64<br>7,26   | $\left\{ \begin{array}{l} 0,36 \\ 2,69 \\ 4,65 \end{array} \right\}$ | $\delta' =$<br>18,9 | -  | -                | -  | -  |
| 25                                      | $N_\gamma$<br>$N_q$<br>$N_c$ | 5,87<br>10,6<br>6<br>20,7<br>2  | 4,50<br>9,17<br>7,65<br>3  | 3,18<br>6,13<br>4,58<br>6  | 2,00<br>4,58<br>7,68<br>9  | $\left\{ \begin{array}{l} 0,58 \\ 3,60 \\ 5,58 \end{array} \right\}$ | $\delta' =$<br>22,9 | -  | -                | -  | -  |
| 30                                      | $N_\gamma$                   | 12,3<br>9   | 9,43   | 6,72   | 4,44   | 2,63   | 1,29                | $\left\{ \begin{array}{l} 0,95 \\ 4,95 \\ 6,85 \end{array} \right\}$ | $\delta' =$<br>- | -  | -  |

| Угол внутрен- него грунта $\phi_I$ , град | Обозначе- ние коэф- фициентов | Коэффициенты несущей способности $N_\gamma$ , $N_q$ , $N_c$ при углах наклона к вертикали равнодействующей внешней нагрузки $\delta$ , град, равных |           |           |           |              |   |                     |   |                         |
|---|-------------------------------|---|-----------|-----------|-----------|--------------|---|---------------------|---|-------------------------|
|   |                               | 0   | 5         | 10        | 15        | 20           | 25  | 30                  | 35  | 40                      |
| 35  | $N_q$                         | 18,4<br>0   | 15,6<br>3 | 12,9<br>4 | 10,3<br>7 | 7,96<br>5,67 |   |                     | 26,5<br>29,8  |                         |
|   | $N_c$                         | 30,1<br>4   | 25,3<br>4 | 20,6<br>8 | 16,2<br>3 | 12,0<br>5    | 8,09<br>13,1  |                     |   |                         |
| 40  | $N_\gamma$                    | 27,5<br>0   | 20,5<br>8 | 14,6<br>3 | 9,79<br>2 | 6,08<br>3,38 | $\left\{ \begin{array}{l} 1,60 \\ 7,04 \\ 8,63 \end{array} \right.$ | $\delta' =$<br>29,8 | -   | -                       |
|   | $N_q$                         | 33,3<br>0   | 27,8<br>6 | 22,7<br>7 | 18,1<br>2 | 13,9<br>4    | 10,2<br>4   |                     |   |                         |
| 45  | $N_c$                         | 46,1<br>2   | 38,3<br>6 | 31,0<br>9 | 24,4<br>5 | 18,4<br>8    | 13,1<br>9   |                     |   |                         |
|   | $N_\gamma$                    | 66,0<br>1   | 48,3<br>0 | 33,8<br>4 | 22,5<br>6 | 14,1<br>8    | 8,26<br>18,7  | 4,30<br>13,1        | $\left\{ \begin{array}{l} 2,79 \\ 10,46 \\ 11,27 \end{array} \right.$ | $\delta' =$<br>32,<br>7 |
|   | $N_q$                         | 64,1<br>9   | 52,7<br>1 | 42,3<br>7 | 33,2<br>6 | 25,3<br>9    | 18,7<br>0   | 13,1<br>1           |   |                         |
|   | $N_c$                         | 75,3<br>1   | 61,6<br>3 | 49,3<br>1 | 38,4<br>5 | 29,0<br>7    | 21,1<br>0   | 14,4<br>3           |   |                         |

При мечания: 1. При промежуточных значениях  $\phi_I$  и  $\delta$  коэффициенты  $N_\gamma$ ,  $N_q$ ,  $N_c$  допускается определять по интерполяции.

2. В фигурных скобках приведены значения коэффициентов несущей способности, соответствующие предельному значению угла наклона нагрузки  $\delta'$ , исходя из [условия \(11\)](#).

## Задачи к практическому занятию №5

### Задача №1

Определить несущую способность основания сборного ленточного фундамента мелкого заложения для жилого дома. Ширина фундамента 1 м.

Основание – супесь с характеристиками:  $\phi = 20^\circ$ ,  $C = 3$  кПа. Среднее значение удельного веса грунта  $\gamma = 20$  кН/м. Глубина заложения фундамента  $d = 2,2$  м.

### **Задача №2.**

Определить несущую способность подошвы внерадиально нагруженного фундамента размерами 3,6x4,2 м. Нагрузка приложена с эксцентризитетом 0,4 м. Потеря устойчивости возможна по длине (4,2 м) фундамента. Глубина заложения фундамента  $d = 2,2$  м. Основание – супесь с характеристиками: угол внутреннего трения грунта  $\phi = 20^\circ$ ; удельное сцепление  $C = 13$  кПа, среднее значение удельного веса  $\gamma = 20$  кН/м. Угол наклона к вертикали равнодействующей внешней нагрузки  $\delta$  равен  $0^\circ$ .

## ПРАКТИЧЕСКОЕ ЗАНЯТИЕ №6. ОПРЕДЕЛЕНИЕ ОСАДОК ОСНОВАНИЯ

Основные методы расчета осадки:

1. Метод эквивалентного слоя;
2. Метод послойного суммирования.

**Метод эквивалентного слоя.** Метод эквивалентного слоя, предложенный Н.А. Цытовичем, позволяет определить осадку с учетом ограниченного бокового расширения. Эквивалентным слоем называется такая толщина грунта  $h_{\text{э}}$ , которая в условиях невозможности бокового расширения (при загружении всей поверхности сплошной нагрузкой) дает осадку, равную по величине осадке фундамента, имеющего ограниченные размеры в плане при нагрузке той же интенсивности. Другими словами, в данном методе пространственная задача расчета осадок может заменяться одномерной. Мощность эквивалентного слоя зависит от коэффициента Пуассона  $v$ , коэффициента формы площади и жесткости фундамента  $\omega$  и его ширины  $b$ .

Мощность эквивалентного слоя определяется по формуле

$$h_{\text{э}} = A \cdot \omega \cdot b \quad (1)$$

где  $A = (1-v)^2 / (1-2v)$  — коэффициент, зависящий от вида грунта;  $\omega$  — коэффициент, зависящий от формы фундамента и жесткости;  $b$  — ширина фундамента.

Сочетание  $A\omega$  в формуле называют коэффициентом эквивалентного слоя. Значения коэффициента эквивалентного слоя в зависимости от коэффициента Пуассона для различных грунтов и соотношения сторон загруженной площади приведены в табл. 1.

Осадку однородного основания определяют по формуле

$$S = P_0 \cdot h_{\text{э}} \cdot m_v \quad (2)$$

где  $P_0$  — дополнительное давление по подошве фундамента (рис.);  $m_v$  — коэффициент относительной сжимаемости грунта.

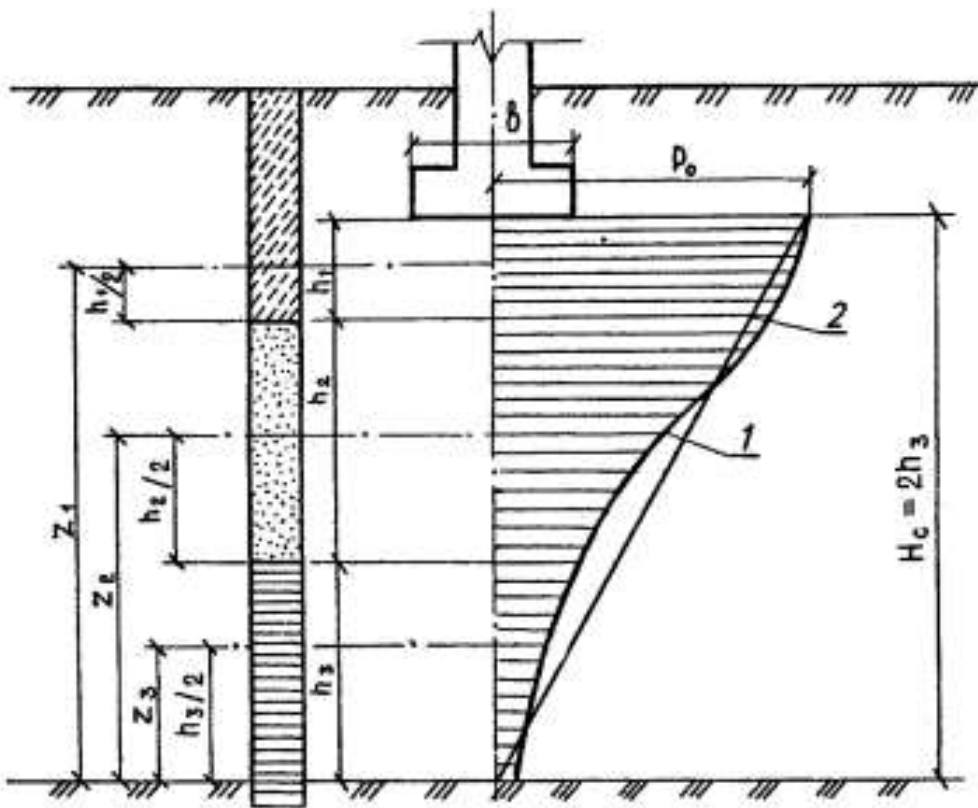


Рис. 1. Расчетная схема к определению осадки методом эквивалентного слоя для неоднородного основания

В этом методе криволинейная эпюра 1 (см. рис. 1) распределения давления в основании с достаточной для практики точностью заменяется эквивалентной по площади треугольной эпюрой 2 с высотой  $H_c = 2h_3$ , где  $H_c$  — мощность сжимаемой толщи.

Осадку неоднородного (слоистого) основания также определяют по формуле (2), с той лишь разницей, что в ней используют средневзвешенное значение коэффициента относительной сжимаемости, определяемой из условия, что в пределах сжимаемой толщи полная осадка равна сумме осадок, входящих в нее слоев. Значение средневзвешенного относительного коэффициента сжимаемости слоистого напластования грунтов находят из выражения

$$\bar{m}_v = \frac{1}{2h_3^2} \sum_{i=1}^n h_i m_{vi} z_i \quad (3)$$

где  $h_i$  — толщина  $i$ -го слоя грунта в пределах сжимаемой толщи;  $m_{vi}$  — коэффициент относительной сжимаемости  $i$ -го слоя;  $z_i$  — расстояние от нижней точки треугольной эпюры до середины  $i$ -го слоя (см. рис. 1).

Тогда осадка многослойного основания вычисляется по формуле

$$S = P_0 h_3 m_v \quad (4)$$

Достоинством метода Н.А. Цытовича является то, что он учитывает коэффициент поперечного линейного расширения (коэффициент Пуассона), содержащийся в произведении  $A\omega$ , тогда как метод послойного суммирования не учитывает его, поскольку принятие  $\beta = 0,8$  для всех грунтов нивелирует свойства всех грунтов.

Таблица 1 – Значение коэффициента эквивалентного слоя.

**Метод послойного суммирования.** Основные допущения следующие:

1. Осадка происходит только при давлениях, превышающих природное давление на отметке заложения подошвы фундамента.
2. Связь между давлением и относительной деформацией линейная и может быть описана зависимостью закона Гука.
3. Напряжения в грунтовом массиве распределяются в соответствии с решениями теории упругости.
4. Рассчитывается эпюра давлений  $s$  по глубине только по оси симметрии нагрузки ( $x = 0$ ), и эти напряжения считаются одинаковыми вдоль горизонтальной оси  $x$ . Таким образом, имеет место некоторое завышение напряжений, действующих вдоль оси  $x$ , против средних значений в пределах ширины подошвы фундамента.
5. Считается, что грунт не претерпевает бокового расширения и сжимается только в вертикальном направлении (за счет этого осадка несколько преуменьшается). Схема показана на рис.2.

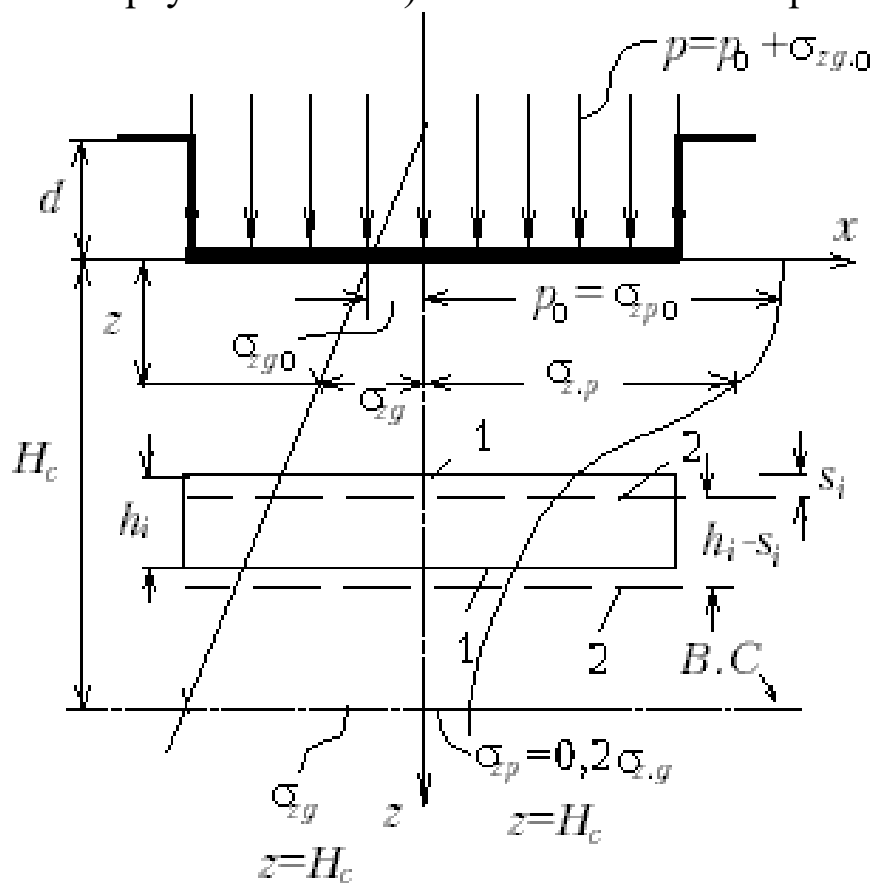


Рис.2. Схема для расчета осадок по способу элементарного суммирования: 1 - элементарный слой до деформации; 2 - то же, после деформации

В методе послойного суммирования осадки суммируются до той отметки, когда осевые дополнительные по отношению к природным напряжениям не снижаются до 20 % от природных (бытовых) на этой же отметке. Эта отметка считается нижней границей сжимаемой толщи (В.С.), а осадками за счет сжатия нижерасположенной толщи пренебрегают. Однако, если ниже расположены слабые грунты с модулем деформации  $E < 5$  МПа, то нижнюю границу сжимаемой толщи следует опустить до той отметки, где дополнительные по отношению к природным давления составят 10 % от природных, а не 20 % как обычно.

В методе послойного суммирования осадка определяется, как:

$$S = \beta \cdot \sum_{i=1}^n \frac{\sigma_{zp} \cdot h_i}{E_i},$$

где  $h_i$  – толщина  $i$ -ого слоя грунта;

$\sigma_{zp}$  – среднее значение дополнительного вертикального нормально-го напряжения в  $i$ -м слое грунта, равное полусумме указанных напряжений на верхней  $z_{i-1}$  и нижней  $z_i$  границах слоя по вертикали, проходящей через центр подошвы фундамента;

$E$  – модуль деформации  $i$ -ого слоя грунта;

$\beta$  – коэффициент, принимаемый равным 0,8.

Табл. 2 Определение осадки методом послойного суммирования

| 1  | 2        | 3                           | 4  | 5     | 6                                | 7   | 8   |
|--|----------|-----------------------------|--|-------|----------------------------------|-----|---|
| $\xi$  | $\alpha$ | $z = \frac{\xi \cdot b}{2}$ | $\sigma_{zg} = 0,2 \cdot z \cdot \gamma$ | $p_0$ | $\sigma_{zp} = \alpha \cdot p_0$ | $E$ | $S_i = \beta \cdot \frac{\sigma_{zp} \cdot h_i}{E_i}$ |
|  |          |                             |  |       |                                  |     |   |
|  |          |                             |  |       |                                  |     |   |
|  |          |                             |  |       |                                  |     |   |
| $S = \beta \cdot \sum_{i=1}^n \frac{\sigma_{zp} \cdot h_i}{E_i}$ |          |                             |  |       |                                  |     |   |

### Алгоритм определение осадки основания:

- Выписываем из табл. 5.8 СП 22.13330.2011 «Основания зданий и сооружений» выписываем в таблицу значения коэффи-

циента  $\xi$ . (ст. 1) (Чем больше давление и меньше размеры фундамента, тем больше сжимаемая толща).

2. Определяем  $\eta = \frac{1}{b}$ .
3. Из табл. 5.8 СП 22.13330.2011 «Основания зданий и сооружений» выписываем в таблицу значения коэффициента  $a$ . (ст. 2)
4. Вычисляем глубину  $z$ , соответствующую каждому коэффициенту  $a$ . (ст. 3)
5. Определяем  $h$ , как разницу между  $z_i$  и  $z_{i-1}$ . В общем случае  $h$  постоянно по всей глубине.
6. Вычисляем напряжение от собственного веса грунта на глубине  $z$  и умножаем его на 0,2 для определения в дальнейшем сжимаемой толщи. (сжимаемая толща считается до глубины, на которой дополнительное напряжение становится в 5 раз меньше напряжения от собственного веса грунта )(ст. 4)
7. Вычисляем  $p_0 = p - \gamma \cdot d$ . (ст. 5).
8. Вычисляем дополнительное напряжение на глубине  $z$ . (ст. 6)
9. Вычисляем осадку  $S_i$  каждого слоя толщиной  $h$ . (ст. 8)
10. Вычисляем общую осадку основания  $S$ , как сумму осадок каждого отдельного слоя.

## **Задачи к практическому занятию №6**

### **Задача №1.**

Определить осадку фундамента.

Дано. Размеры подошвы фундамента  $b \times \ell = 3 \times 4$  м. Глубина заложения от природного рельефа 1,4 м. Основание фундамента сложено супесями  $h_1 = 2,18$  м;  $E = 4,84$  МПа;  $\gamma = 18$  кН/м.

Подстилаемый слой – песок средней крупности  $h_2 = 3,98$  м;  $\gamma = 19$  кН/м;  $E = 18,41$  МПа. Уровень подземных вод на глубине 4,50 м от рельефа.

Среднее давление под подошвой фундамента  $P = 0,128$  МПа.

## Литература

1. ГОСТ 5180-84. Грунты. Методы лабораторного определения физических характеристик.
2. ГОСТ 25584-90. Грунты. Методы лабораторного определения коэффициента фильтрации.
3. ГОСТ 12536-79. Грунты. Методы лабораторного определения гранулометрического (зернового) и микроагрегатного состава.
4. ГОСТ 23161-78. Грунты. Методы лабораторного определения характеристик просадочности.
5. СП 22.13330.2016. Основания зданий и сооружений. – М.: Стройиздат, 1995. – 49 с.
11. Пособие по проектированию оснований зданий и сооружений (к СНиП 2.02.01-83). – М.: Стройиздат, 1986. – 415 с.
6. Веселов В.А. Проектирование оснований и фундаментов. – М.: Стройиздат, 1990. – 303 с.
7. Далматов Б.И. Механика грунтов, основания и фундаменты. – Л.: Стройиздат, 1988. – 417 с.
8. Зоценко М.Л., Коваленко В.І., Хілобок В.Г., Яковлев А.В. Інженерна геологія, механіка ґрунтів, основи і фундаменти. – К.: Вища школа, 1992. –400 с.

9. Механика грунтов, основания и фундаменты: Учеб. пособие /Ухов С.Б., Семенов В.В., Знаменский В.В. и др.; Под ред. С.Б. Ухова. 2-е изд., перераб. и доп. – М.: Высшая школа, 2002. – 556 с.
10. Цытович Н.А. Механика грунтов (краткий курс). – М.: Высш. школа, 1983. – 288 с.